

- H1. Förutsäg, utgående från skalmodellen, spinn och paritet hos grundtillstånden av: (a) ^7Li ; (b) ^{11}B ; (c) ^{15}C ; (d) ^{17}F ; (e) ^{31}P ; (f) ^{141}Pr
- H2. (a) Om energin för ett enpartikel-tillstånd, i avsaknad av spinnban-koppling, är E_0 . Vad blir då energin på de två tillstånden i en spinnban-dublett vars energiskillnad är $\frac{1}{2}(2l+1)\hbar^2$. (b) Visa att medelenergin av alla tillstånd som ingår i dubletten är E_0 .
- H3. Kärnan ^{228}Th har sin första exciterade nivå, som är av rotationskaraktär, vid 57 keV och nivån har spinn-paritet 2^+ . Andra exciterade nivåer ligger vid 186, 328, 393 och 965 keV. Vilken eller vilka nivåer tillhör rotationsbandet bildat på grundtillståndet?
- H4. Om man jämför de lågt liggande tillstånden i ^{17}O och ^{19}O finner man att den största skillnaden är att ^{19}O har två extra tillstånd. Dessa har spinn-paritet $\frac{3}{2}^+$ och $\frac{9}{2}^+$. Visa att dessa tillstånd kan uppstå från konfigurationen $(d_{5/2})^3$ och därför ej förväntas förekomma i ^{17}O .
- I1. Hur stor del av tiden befinner sig protonen och neutronen i en deuteron utanför den starka kraftens räckvidd? Antag att den starka krafen kan beskrivas med en sfärisk lådpotential med parametrar: $V_0 = 35 \text{ MeV}$, $R = 2.1 \text{ fm}$. Bindningsergin för deuteronen är $E_b = 2.22 \text{ MeV}$ och grundtillståndet är huvudsakligen ett s-tillstånd.

5.1 Den oparade nukleonen bestämmer spin och paritet

$$(H1) \quad \tilde{\pi} = (-1)^l$$

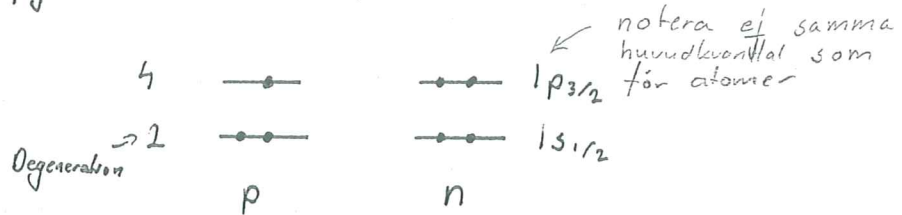
$$\vec{j} = \vec{l} + \vec{s}, \quad j = l \pm \frac{1}{2}$$

$s \quad p \quad d \quad f$
 $l = 0 \quad 1 \quad 2 \quad 3$

$$\text{Degeneration} = 2l+1$$



Se fig. 5.6 skalmodellspotential + SO-vxv

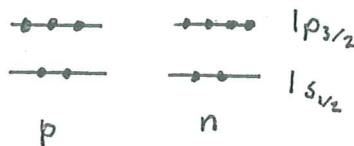
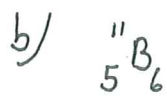


Alla neutroner är parade. En $p_{3/2}$ proton är oparad

$$\therefore j = 3/2, \text{ paritet } (-1)^l = -1$$

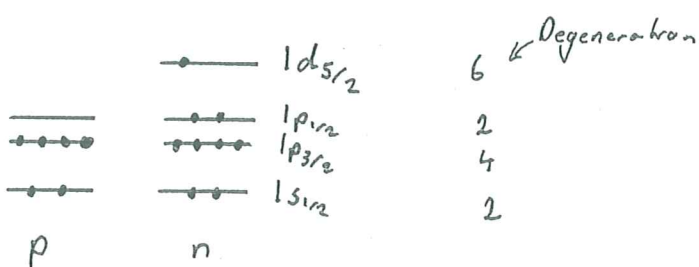
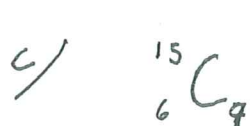
\Rightarrow Grundtillståndet för ${}^7\text{Li}$ är $\underline{\underline{\frac{3}{2}}^-}$

(Den "extrema" skalmodellen säger att bara den oparade nukleonen bestämmer kärnans egenskaper.)



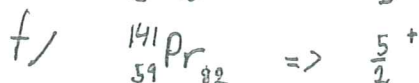
Parad proton i $1p_{3/2} \Rightarrow$

Grundtillståndet för ${}^{11}\text{B}$ är $\underline{\underline{\frac{3}{2}}^-}$



1 neutron utanför fyllt skal

\Rightarrow Grundtillståndet för ${}^{15}\text{C}$ är $\underline{\underline{\frac{5}{2}}^+}$ ($d \Rightarrow l=2$)



[5.6]

Vad händer med energinivåerna om man "kopplar på" spinnbans kopplingen.

$$(H_2) \quad H_0 \longrightarrow H_0 + V_{so}(r) \vec{\ell} \cdot \vec{s}$$

\Rightarrow bindnings-energi $E = E_0$

$$E = E_0 + \langle V_{so}(r) \rangle < \vec{\ell} \cdot \vec{s} >$$

$$\begin{matrix} \textcircled{1} \\ E \end{matrix} \quad \boxed{\quad}$$

?

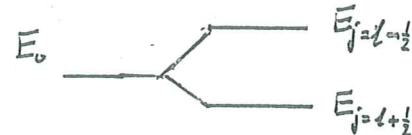
$$\vec{j} = \vec{\ell} + \vec{s} \Rightarrow \vec{j}^2 = \vec{\ell}^2 + \vec{s}^2 + 2\vec{\ell} \cdot \vec{s}$$

$$\therefore \langle \vec{\ell} \cdot \vec{s} \rangle = \frac{1}{2} \langle (\vec{j}^2 - \vec{\ell}^2 - \vec{s}^2) \rangle = \frac{\hbar^2}{2} [j(j+1) - \ell(\ell+1) - s(s+1)] =$$

$$= \frac{\hbar^2}{2} [j(j+1) - \ell(\ell+1) - \frac{1}{2} \cdot \frac{3}{2}] = \begin{cases} \frac{\hbar^2}{2} \ell & j = \ell + \frac{1}{2} \\ -\frac{\hbar^2}{2} (\ell+1) & j = \ell - \frac{1}{2} \end{cases}$$

Alltså:

$$\begin{cases} E_{j=\ell+\frac{1}{2}} = E_0 + \frac{\hbar^2}{2} \ell \langle V_{so}(r) \rangle \\ E_{j=\ell-\frac{1}{2}} = E_0 - \frac{\hbar^2}{2} (\ell+1) \langle V_{so}(r) \rangle \end{cases}$$



$$\Delta E = E_{j=\ell+\frac{1}{2}} - E_{j=\ell-\frac{1}{2}} = \frac{\hbar^2}{2} (2\ell+1) \langle V_{so}(r) \rangle \quad \text{Jmf (5.4)}$$

Degenerationen av $E_{j=\ell+\frac{1}{2}}$ nivån är $2j+1 = 2\ell+2$

— " — $E_{j=\ell-\frac{1}{2}}$ — " — $2j+1 = 2\ell$

$$\text{"Center of gravity"} = \frac{(2\ell+2)[E_0 + \frac{\hbar^2}{2} \ell \langle V_{so}(r) \rangle] + 2\ell[E_0 - \frac{\hbar^2}{2} (\ell+1) \langle V_{so}(r) \rangle]}{(2\ell+2) + 2\ell} =$$

$$= \underline{\underline{E_0}}$$

Q.E.D.

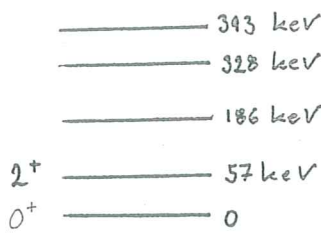
E2

(H3)

Energinivådiagram för $^{228}_{90}\text{Th}_{138}$

965 keV

(Thorium)



jämn-jämn kärna \Rightarrow grundtillståndet är 0^+

Deformerade kärnor är vanliga för $150 < A < 190$ och $A > 230$

Magiska tal i denna region $N, Z = 82, 126$

$\therefore {}^{228}\text{Th}$ är antagligen deformerad \Rightarrow kollektiva excitationer

För en jämn-jämn kärna

$$\left(\text{klassiskt} \right) \left. \begin{aligned} E_{\text{rot}} &= \frac{1}{2} J \omega^2 \\ J &= I \omega \end{aligned} \right\} \Rightarrow E_{\text{rot}} = \frac{\hbar^2 I(I+1)}{2J} \quad \left(\begin{array}{l} \text{kvantmek} \\ \hline \hbar^2 \sim \hbar^2 I(I+1) \end{array} \right)$$

\uparrow
träghetsmoment

Kärnan är spegelsymmetrisk $\Rightarrow K=+1 \Rightarrow I$ jämn i rotationsbandet som bygger på grundtillst. 0^+

$$E_{\text{rot}}(0^+) = 0$$

$$E_{\text{rot}}(2^+) = 6 \frac{\hbar^2}{2J} = 57 \text{ keV} \Rightarrow \frac{\hbar^2}{2J} = 9,5 \text{ keV}$$

Antag att
Fär konstant

$$E_{\text{rot}}(4^+) = 20 \text{ " } = 190 \text{ keV}$$

$$E_{\text{rot}}(6^+) = 42 \text{ " } = 399 \text{ keV}$$

$$E_{\text{rot}}(8^+) = 72 \text{ " } = 684 \text{ keV}$$

$$E_{\text{rot}}(10^+) = 110 \text{ " } = 1045 \text{ keV}$$

\therefore Nivåerna 57 keV (2^+), 186 keV (4^+) och 393 keV (6^+) tillhör rotationsbandet bildat på grundtillståndet,

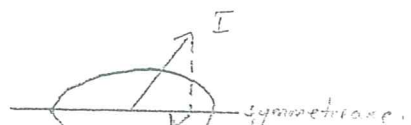
Mer allmänt gäller att

$$E_{\text{rot}} = \frac{\hbar^2}{2J} [I(I+1) - K^2]$$

där $I = K, K+1, K+2, \dots$ om $K \neq 0 \leftarrow$ rotationsband

$I = 0, 2, 4, \dots$ om $K=0 \leftarrow$

och $K=0$ för jämn-jämn kärna



symmetriaxel.

5.14

1(4)

(H4)

Använd skalmodellen för att förklara energinivådiagrammen hos $^{17}_8 O_9$, $^{19}_8 O_{11}$

$\frac{3}{2}^+$	5094
$\frac{3}{2}^-$	4553
$\frac{5}{2}^-$	3842
$\frac{1}{2}^-$	3055

$\frac{1}{2}^+$	871
$\frac{5}{2}^+$	0

$^{17}_8 O$

$\frac{7}{2}^+$	3067
$\frac{5}{2}^+$	2729
$\frac{9}{2}^+$	2371

$\frac{1}{2}^+$	1471
$\frac{5}{2}^+$	96

$^{19}_8 O$

Skalmodell enl.
Krane frg. 5.6

4	—	$1d_{3/2}$
2	—	$1p_{1/2}$
6	—	$1p_{3/2}$
2	—	$1s_{1/2}$

Lösning $^{17}_8 O$

$$\begin{array}{c} 8 \\ 8+1 \end{array} p$$

$$\left. \begin{array}{c} \\ \end{array} \right\} 1 \text{ valensneutron i } 1d_{5/2}$$

$$\left(\frac{5}{2}^+ \right)$$

\Rightarrow grundtillstånd

$$\left(\frac{1}{2}^+ \right) : \text{exciterad neutron i } 2s_{1/2}$$

$$\left(\frac{1}{2}^- \right) : \text{excitera en } 1p_{1/2} \text{ neutron till } 1d_{5/2}$$

\Rightarrow ett hål i $1p_{1/2}$ (Här måste vibryta ett par i $1p_{1/2}$ -skälet. Detta kostar ca 2 MeV)

$$\begin{bmatrix} \frac{5}{2}^-, \frac{3}{2}^- \\ \frac{3}{2}^+ \end{bmatrix} \text{ kan vara } |1p_{1/2}\rangle \oplus |1d_{5/2}\rangle \oplus |1d_{5/2}\rangle$$

$\frac{3}{2}^+$ kan vara 1 neutron i $1d_{3/2}$

 $^{19}_8 O$

$$\begin{array}{c} 8 \\ 8+3 \end{array} p$$

$$\left. \begin{array}{c} \\ \end{array} \right\} 3 \text{ neutroner i } 1d_{5/2}$$

[6 st rymmer ty
 $m_j = -\frac{5}{2}, \dots, \frac{5}{2}$]

grundtillståndet kopplar 2 neutroner till O^+

$$\left(\frac{1}{2}^+ \right) : \Rightarrow 1 \text{ oparad neutron i } 1d_{5/2} \Rightarrow \left(\frac{5}{2}^+ \right)$$

neutron i $2s_{1/2}$ (Jmf $^{17}_8 O$)

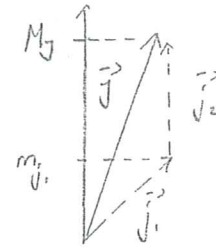
Vilka tillstånd får ur $|1d_{5/2}\rangle \oplus |1d_{5/2}\rangle \oplus |1d_{5/2}\rangle$?

5.14 • Koppla först två neutroner till totalt spinn \vec{J}

2(4)

$$\vec{J} = \vec{j}_1 + \vec{j}_2$$

$$\begin{cases} m_{j_i} = -j_i, \dots, j_i \\ m_j = -J, \dots, J \\ m_j = m_{j_1} + m_{j_2} \end{cases}$$



Plotta m_j som funktion av m_{j_1} & m_{j_2}

m_{j_1}	$5/2$	$3/2$	$1/2$	$-1/2$	$-3/2$	$-5/2$
m_{j_2}	5	4	3	2	1	0
	4	3	2	1	0	-1
	3	2	1	0	-1	-2
	2	1	0	-1	-2	-3
	1	0	-1	-2	-3	-4
	0	-1	-2	-3	-4	-5

(m_j)

Vad menas med antisymmetrisk vågfunktion? Antag att \hat{P} = permutationsoperator \Rightarrow byter plats på nucleon 1 och 2. Antisymmetrisk v.f. har då egenskapen att $\hat{P}\Psi(1,2) = \Psi(2,1) = -\Psi(1,2)$

Neutronerna är identiska fermioner
 \Rightarrow Vågfunktronen måste vara antisymmetrisk

$$\text{Ex/ } m_j = 5 \Rightarrow [m_{j_1}, m_{j_2}] = [\frac{5}{2}, \frac{5}{2}]$$

$$\begin{aligned} \Psi &= \Psi_1(\frac{5}{2})\Psi_2(\frac{5}{2}) \\ \hat{P}\Psi &= \Psi_2(\frac{5}{2})\Psi_1(\frac{5}{2}) \neq -\Psi \\ \Psi_{\text{antisym.}} &= [\Psi - \hat{P}\Psi] \frac{1}{\sqrt{2}} = 0 \end{aligned}$$

$$m_j = 4 \Rightarrow [\frac{5}{2}, \frac{3}{2}] \text{ & } [\frac{3}{2}, \frac{5}{2}]$$

Konfiguration a konfiguration b

Hur skapa en a.sym. vågfunktron från Ψ ? Svar: $\Psi_{\text{a,sym.}} = (\Psi - \hat{P}\Psi) \frac{1}{\sqrt{2}}$ \leftarrow normalisering ty $\hat{P}\Psi_{\text{a,sym.}} = -\Psi_{\text{a,sym.}}$

$$\Psi_a = \left[\Psi_1(\frac{5}{2})\Psi_2(\frac{3}{2}) - \Psi_2(\frac{5}{2})\Psi_1(\frac{3}{2}) \right] \frac{1}{\sqrt{2}} = -\Psi_a \quad \text{OK!}$$

$$\Psi_b = \left[\Psi_1(\frac{3}{2})\Psi_2(\frac{5}{2}) - \Psi_2(\frac{3}{2})\Psi_1(\frac{5}{2}) \right] \frac{1}{\sqrt{2}} = -\Psi_b \quad \text{OK!}$$

Men $|\Psi_a|^2 = |\Psi_b|^2$, Detta är vad vi kan observera
 \Rightarrow a & b identiska

AH vågfunktronen $\equiv 0$
 innebär att detta tillstånd inte existerar.
 Detta är en följd av att kvanthalten är identiska för de två neutronerna (j.m.b. s ...)
 Obs. att kräva en antisymmetrisk vågfunktron är ett sätt att uppfylla Pauliprincipen!

15.14
3(4)

P.s.s. fås

m_J	-5	-4	-3	-2	-1	0	1	2	3	4	5
# tillstånd	0	1	1	2	2	3	2	2	1	1	0

$\Sigma: 15$

Konsistent med: $J'' = 0^+$ $\Rightarrow m_J = 0$ (singlett)

$J_2'' = 2^+$ $\Rightarrow m_J = -2, -1, 0, 1, 2$ (kvintett)

$J_3'' = 4^+$ $\Rightarrow m_J = -4, \dots, 4$ (nonett)

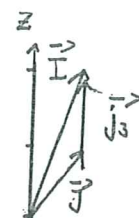
$$\begin{array}{c} \text{Positiv paritet} \\ \text{ty } \pi_{\text{tot}} = (-1)^{\frac{l+2}{2}} \cdot (-1)^l \\ = +1 \end{array}$$

$\Sigma 15 \text{ OK!}$

Notera hur tre nukleoner från samma skål alltid bildar jämma, heltaliga totala spin och positiv paritet. 0^+ är den energimässigt mest fördelattra kopplingen.

- Koppla nu den sista neutronen. Utnytta vad vi lärtde oss ovan nämligen att en antisymmetrisk vågfunktion kräver att alla kvanttal inte kan vara lika! För nukleoner i samma energinivå måste alltså m_j vara olika

$$|IM_I\rangle = \underbrace{|1ds_1\rangle \otimes |1ds_2\rangle \otimes |1ds_3\rangle}_{|Jm_J\rangle}$$



$$M_I = m_{j_1} + m_{j_2} + m_{j_3}$$

M_I	# tillstånd	kombinationer av $m_{j_1}, m_{j_2}, m_{j_3}$
-------	-------------	---

$\frac{15}{2}, \frac{13}{2}, \frac{11}{2}$	omöjligt	pga Pauliprincipen
$\frac{9}{2}$	1	$[\frac{5}{2}, \frac{3}{2}, \frac{1}{2}]$
$\frac{7}{2}$	1	$[\frac{5}{2}, \frac{3}{2}, -\frac{1}{2}]$
$\frac{5}{2}$	2	$[\frac{5}{2}, \frac{3}{2}, -\frac{3}{2}] \& [\frac{5}{2}, \frac{1}{2}, -\frac{1}{2}]$
$\frac{3}{2}$	3	$[\frac{5}{2}, \frac{1}{2}, -\frac{3}{2}] \& [\frac{3}{2}, \frac{5}{2}, -\frac{5}{2}] \& [\frac{3}{2}, \frac{1}{2}, -\frac{1}{2}]$
$\frac{1}{2}$	3	$[\frac{5}{2}, -\frac{1}{2}, -\frac{3}{2}] \& [\frac{1}{2}, \frac{5}{2}, -\frac{5}{2}] \& [\frac{1}{2}, \frac{3}{2}, -\frac{3}{2}]$

Analogt för negativa M_I

5.14

4(4) Detta är konsistent med $I^\pi = \frac{9}{2}^+, \frac{5}{2}^+, \frac{3}{2}^+$

Här hittar vi grundtiltståndet
som vi redan visste om
 $(0^+ \otimes \frac{5}{2}^+)$

$\frac{3}{2}^+$

(96 keV) : 3 neutroner i $1d_{5/2}$

$\frac{9}{2}^+$

(2371 keV) : _____ " _____

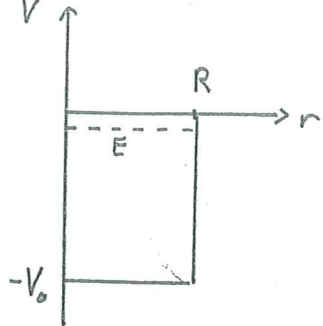
Tiltstånden $\frac{7}{2}^+, \frac{3}{2}^+$ (3067 keV) skulle kunna förklaras med
 $|1d_{5/2}\rangle \otimes |1d_{5/2}\rangle \otimes |2s_{1/2}\rangle$

4.4

Hur stor del av bilden befinner sig neutronen och protonen i deuteronen utanför den starka kraftens räckvidd?

Lösning

Vi kan modellera den starka kraften med en 3D-Lädpotential



$$V(r) = \begin{cases} -V_0 & r < R \\ 0 & r > R \end{cases}$$

Experiment ger

$$V_0 \approx 35 \text{ MeV}$$

$$R \approx 2,1 \text{ fm}$$

$$\text{Bindningsenergi} = -E = 2,22 \text{ MeV}$$

Separera vägfunktionen

$$\Psi(r, \theta, \gamma) = \phi(r) f(\theta, \gamma), \text{ skriv } \phi(r) = \frac{u(r)}{r}$$

Antag $L=0$ i grundtilståndet. Den radrella delen av S.E:

$$-\frac{\hbar^2}{2\mu} \frac{d^2 u}{dr^2} + V(r) u(r) = E u(r)$$

$$\text{där } \mu = \frac{m_n m_p}{m_n + m_p} = 470 \text{ MeV/c}^2$$

Deuteron $I^{rr} = I^+$
 $\vec{I} = \vec{p} + \vec{s} = \vec{p} + \vec{s}_n + \vec{s}_p$
 $\Rightarrow \{ \vec{s}_n, \vec{s}_p \text{ parallella } L=0$
 $- \quad - \quad L=2$

med Lösning

$$u(r) = \begin{cases} A \sin k_1 r + B \cos k_1 r & , r < R \\ C e^{-k_2 r} + D e^{k_2 r} & , r > R \end{cases}, k_1 = \sqrt{\frac{2\mu}{\hbar^2}(E+V_0)}, \approx 0,89 \text{ fm}^{-1}$$

$$, k_2 = \sqrt{-\frac{2\mu}{\hbar^2} E} \approx 0,23 \text{ fm}^{-1}$$

Villkor • $u(r) \rightarrow 0$ då $r \rightarrow \infty \Rightarrow B=0$ • $\frac{u(r)}{r} \rightarrow 0$ då $r \rightarrow \infty \Rightarrow D=0$ • Kontinuitet hos $u(r)$ och $\frac{du}{dr}$ vid $r=R \Rightarrow$

$$\left. \begin{array}{l} A \sin k_1 R = C e^{-k_2 R} \\ A k_1 \cos k_1 R = -C k_2 e^{-k_2 R} \end{array} \right\} \Rightarrow k_1 \cot(k_1 R) = -k_2 \quad (3)$$

• Normalisering

$$1 = \int_0^\infty \phi^2(r) r^2 dr = \int_0^\infty u^2(r) dr = \underbrace{\int_0^R dr A^2 \sin^2 k_1 r}_{\text{under}} + \int_R^\infty dr C^2 e^{-2k_2 r} =$$

$$= \frac{1 - \cos 2k_1 R}{2}$$

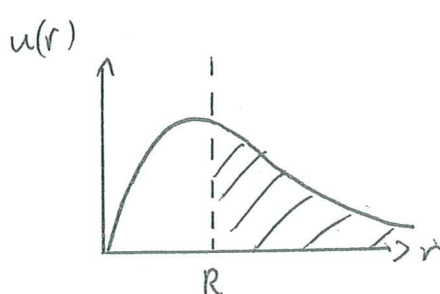
forts
[4,4]

$$\begin{aligned}
 &= \frac{A^2}{2} \left(R - \frac{\sin 2k_1 R}{2k_1} \right) + C^2 \frac{e^{-2k_2 R}}{2k_2} = (1) = \frac{C^2 e^{-2k_2 R}}{2 \sin^2 k_1 R} \left(R - \frac{\sin 2k_1 R}{2k_1} \right) + \frac{C^2 e^{-2k_2 R}}{2k_2} = \\
 &= \frac{C^2 e^{-2k_2 R}}{2k_2 \sin^2 k_1 R} \left(Rk_2 - \frac{k_2}{2k_1} \sin 2k_1 R + \sin^2 k_1 R \right) = \left\{ \begin{array}{l} (3) \\ \frac{k_2}{k_1} = -\cot k_1 R \end{array} \right\} = \\
 &= \frac{C^2 e^{-2k_2 R}}{2k_2 \sin^2 k_1 R} \underbrace{\left(Rk_2 + \frac{1}{2} \cot k_1 R \cdot 2 \sin k_1 R \cos k_1 R + \sin^2 k_1 R \right)}_{=1} = \frac{C^2 e^{-2k_2 R}}{2k_2 \sin^2 k_1 R} (Rk_2 + 1) \\
 \therefore C^2 &= \frac{2k_2 \sin^2 k_1 R \cdot e^{2k_2 R}}{1 + Rk_2} \quad (4)
 \end{aligned}$$

$R \Leftrightarrow$ Starka kraftens räckvidd

Deuteronen har $r > R$ med sannolikheten:

$$\begin{aligned}
 P(r > R) &= \int_R^\infty u^2(r) dr = C^2 \int_R^\infty e^{-2k_2 r} dr = C^2 \frac{e^{-2k_2 R}}{2k_2} = (4) = \frac{\sin^2 k_1 R}{1 + Rk_2} \\
 \Rightarrow P(r > R) &\approx 0,62
 \end{aligned}$$



Svar: 62% av tiden

C1. (a) Beräkna skillnaden i bindningsenergi ΔB mellan spegelnärorna ^{15}O och ^{15}N . (b) Beräkna kärnradien av de båda isotoperna under antagandet att skillnaden i ΔB endast uppkommer på grund av skillnader i Coulomb-energi.

C3. Härled, med hjälp av semiempiriska massformeln, ett uttryck för den frigjorda energin vid symmetrisk fusion. För vilka atomtal blir denna positiv? Vid symmetrisk fusion slås två likadana kärnor (A, Z) ihop till en kärna ($2A, 2Z$). Antag att $A = 2Z$. (Vilket är rimligt för lätta isotoper men ej för tunga. Varför?)

C4. Betrakta protonen som en homogent laddad, roterande sfär med laddningstäthet ρ , radie R , massa m och vinkelvinkelfrekvens ω . (a) Visa att $\mu = e\omega R^2/5$ genom att integrera över laddningstätheten. (b) Använd det klassiska sambandet mellan tröghetsmoment och vinkelvinkelfrekvens för att visa sambandet $\omega R^2 = 2.5s/m$. (c) Visa slutligen att $\mu = (e/2m)s$.

D1. Beräkna Q -värdet i följande sönderfall:

- (a) $^{247}\text{Bk} \rightarrow ^{243}\text{Am} + \alpha$
- (b) $^{251}\text{Cf} \rightarrow ^{247}\text{Cm} + \alpha$
- (c) $^{230}\text{Th} \rightarrow ^{226}\text{Ra} + \alpha$

D2. Beräkna den kinetiska energin och hastigheten för dotterkärnorna i föregående uppgift.

D4. Använd en halvklassisk bild, i vilken en α -partikel med $l = 0$ emitteras längs en linje genom centrum av kärnan. (a) Hur långt från centrum av kärnan kommer en α -partikel med $l = 1$ respektive $l = 2$ att emitteras? Antag $Q = 6 \text{ MeV}$ och $A = 230$. (b) Vad blir dotterkärnans rotationsenergi om all rekyleneggi omvandlas till rotationsenergi?

12

a) Skillnad i bindningsenergi mellan ${}^7\text{U}$, ${}^7\text{Ng}$: (spegalkärnor)

b) Antag att skillnaden uppkommer enbart pga skillnaden i Coulombenergi och beräkna kärnraden. Vilken kärna är hörstående?

Lösninga) Bindningsenergin för en kärna ${}^A_Z X$

$$\text{Atom: } \frac{\Delta E}{M_{\text{atom}}} \approx 10^{-8}$$

$$\text{Kärna: } \frac{\Delta E}{M_{\text{kärna}}} \approx 10^{-2}$$

$$B = \left\{ Z m_p + N m_n - m({}^A_Z X) \right\} c^2$$

\Rightarrow Vi kan ej separera
massan från B.E.

$$= m({}^A_Z X) - Z m_e + \beta_{\text{atomic}}$$

↑ kärnmasse ↓ atommasse ↓ eV

$$= \left\{ Z m({}^1\text{H}) + N m_n - m({}^A_Z X) \right\} c^2$$

Här:

$$\Delta B = B({}^{15}_7\text{N} - {}^{15}_8\text{O}) = \left\{ -m({}^1\text{H}) + m_n - m({}^{15}\text{N}) + m({}^{15}\text{O}) \right\} c^2 = \left\{ \frac{P.H}{T 6,2 \text{ fm}} \right\}$$

$$= \left\{ -1,007825 + 1,00866 - 15,000109 + 15,003066 \right\} (\text{u}) \cdot c^2 = 0,00379 (\text{u}) \cdot c^2$$

$$1 \text{ u} = 931,494 \text{ MeV}/c^2$$

Notera: många decimaler behövs

$$1 \text{ u} = \frac{m({}^{12}\text{C})}{12}$$

$$\Rightarrow \underline{\underline{\Delta B = 3,532 \text{ MeV}}}$$

✓ Om vi antar att kärnan är en sfär med konstant Laddningsfördelning, ρ , så är Coulombenergin

$$E_c = \frac{3}{5} \frac{Z^2 e^2}{4\pi \epsilon_0 R}$$

Jmf PH 3309, Z(Z-1) (där de har antagit Z protoner med en kont. laddning fördelning för mynning)

$$\left[E_c = \int g(r) \phi(r) d^3 r = 4\pi \int_0^R \underbrace{\frac{Ze \cdot 3}{4\pi R^3}}_{= \rho} \cdot \underbrace{\frac{Ze^2}{4\pi r^2}}_{\frac{1}{3}} \frac{1}{4\pi \epsilon_0 r} r^2 dr = \frac{Z^2 e^2}{R^2} \frac{3}{4\pi \epsilon_0} \frac{R^5}{5} = \frac{3Z^2 e^2}{5 \cdot 4\pi \epsilon_0 R} \right]$$

där R är raden och Ze den totala Ladningen.

$$\Delta B = E_c({}^A_Z Y) - E_c({}^A_{Z-1} Y) = \frac{3}{5} \frac{e^2}{4\pi \epsilon_0 R} [Z^2 - (Z-1)^2] = \frac{3}{5} \frac{e^2 (2Z-1)}{4\pi \epsilon_0 R}$$

$$\text{Ex: } R({}^{15}\text{N}) = 2,42 \cdot 10^{-15} \text{ m}, R({}^{15}\text{O}) = 2,44 \cdot 10^{-15} \text{ m}$$

Antag $R \propto A^{1/3} \Rightarrow R({}^{15}\text{O}) = R({}^{15}\text{N})$

$$\Rightarrow \underline{\underline{R = \frac{e^2 (2Z-1)}{4\pi \epsilon_0 \Delta B} \cdot \frac{3}{5} = \frac{3}{5} \cdot 1,44 \text{ (MeV fm)} \cdot \frac{(2 \cdot 8 - 1)}{3,532 \text{ MeV}} = 3,67 \text{ fm}}}$$

$$\begin{aligned} L' &= 0,2 \cdot 10^{-15} = 2,46 \text{ fm} \\ \text{Med } Z(Z-1) \text{ färs} \\ R &= 3,42 \end{aligned}$$

C3

Symmetrisk fusion



Uppskatta, med hjälp av semiemp. massformeln, för vilka isotoper som symmetrisk fusion ger $Q > 0$.

Symmetrisk fusion innebär att två likadana isotoper slas ihop. Antag $A=2Z$ (vilket är riktigt för lättta isotoper)

Lösning Använd semiemp. massformeln

$$M(Z, A) = Z m(^1\text{H}) + N m_n - \frac{B(Z, A)}{c^2}, \text{ där}$$

$$B(Z, A) = \underbrace{a_v A}_{\substack{\text{Volymterm} \\ \text{BzA, ej } A(A-1)}} - \underbrace{a_s A^{2/3}}_{\substack{\text{Vtterm} \\ \text{Nukleoner på} \\ \text{ytan har före} \\ \text{grannar}}} - \underbrace{a_c Z(Z-1) A^{-1/3}}_{\substack{\text{Coulombrepulsion} \\ \propto \frac{1}{R} \propto A^{-1/3}}} - \underbrace{a_{sym} \frac{(A-2Z)^2}{A}}_{\substack{\text{Symmetriterm} \\ \text{Favoriseras } Z=\frac{A}{2} \\ \text{Viktigt för sma } A \\ \Rightarrow \text{ej } ^{100}\text{H}}} + \delta(Z, A) \quad \underbrace{\delta}_{\substack{\text{Parterm} \\ \text{Favoriseras } Z \neq \frac{A}{2} \\ \text{jämna } N, Z \\ \delta = \pm a_p A^{-3/4}}}$$

$$\underline{Q\text{-värdet}} \quad Q = (M_{\text{före}} - M_{\text{efter}}) c^2 = E_{\text{före}} - E_{\text{efter}}$$

Utan parterm:

$$\begin{aligned} Q &= \left\{ 2M(Z, A) - M(2Z, 2A) \right\} c^2 = B(2Z, 2A) - 2B(Z, A) = \\ &= a_s (2A^{2/3} - (2A)^{2/3}) + a_c [2Z(Z-1)A^{-1/3} - 2Z(2Z-1)(2A)^{-1/3}] \\ &= a_s A^{2/3} (2 - 2^{2/3}) + a_c 2Z A^{-1/3} [(Z-1) - (2Z-1) 2^{-1/3}] \\ &= \left[a_s (2 - 2^{2/3}) + a_c 2 \frac{Z}{A} [Z(1 - 2^{2/3}) - 1 + 2^{-1/3}] \right] A^{2/3} \end{aligned}$$

Antag $A = 2Z$ och motsatsen är $G > 0$

$$\Rightarrow a_s(2 \cdot 2^{2/3}) + a_c [Z(1 - 2^{2/3}) - 1 + 2^{-1/3}] > 0$$

$$\Rightarrow a_c Z (2^{2/3} - 1) < a_c (2^{-1/3} - 1) + a_s (2 \cdot 2^{2/3})$$

$$\Rightarrow Z < \frac{2^{-1/3} - 1}{2^{2/3} - 1} + \frac{a_s}{a_c} \frac{2(1 - 2^{2/3})}{2^{2/3} - 1}$$

$$\Rightarrow Z < \left(2 \frac{a_s}{a_c} - 1 \right) \frac{1 - 2^{-1/3}}{2^{2/3} - 1}$$

Med $a_s = 16,8 \text{ MeV}$

$$a_c = 0,72 \text{ MeV}$$

för $Z < 16$

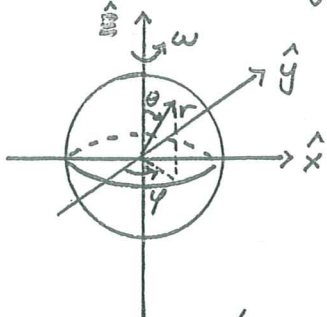


60 ~ max i massparaboln



3.20 (C4) Betrakta protonen som en homogen laddad sfär med laddningstäthet ρ , radie R , massa m och rotation $\vec{\omega} = \omega \hat{z}$.

Beräkna det magnetiska momentet.



(Elv 16.10)

Lösning Magnetiskt moment $\vec{\mu} = \frac{1}{2} \int (\vec{r} \times \vec{j}) dV$ (dipol)

Laddningstäthet: $\frac{4\pi R^3}{3} \rho = +e$ strömtäthet

Strömtäthet: $\vec{j} = \rho \vec{v}$, \vec{v} hastigheten i punkten (r, θ, ϕ)
 $\vec{v} = \omega \cdot r \sin \theta \hat{y}$

$$\Rightarrow \frac{1}{2} (\vec{r} \times \vec{j}) = \frac{1}{2} \cdot r \cdot \rho \omega r \sin \theta (\vec{r} \times \hat{y}) = -\left(\frac{3e\omega}{8\pi R^3}\right) r^2 \sin^2 \theta \hat{z}$$

I cartesiska basvektorer: $\hat{z} = \cos \theta [\cos \phi \hat{x} + \sin \phi \hat{y}] - \sin \theta \hat{z}$

Volymentet: $dV = r^2 \sin \theta dr d\theta d\phi$

Notera att $\int_0^\pi \cos \theta d\theta = 0$

$$\Rightarrow \underline{\underline{\mu}} = -\left(\frac{3e\omega}{8\pi R^3}\right) \hat{z} \int_0^\pi \int_0^{2\pi} \int_0^\pi r^2 \sin^2 \theta (-\sin \theta) r^2 \sin \theta = \\ = \left\{ \int_0^\pi \sin^3 \theta d\theta = \int_0^\pi \sin \theta [1 - \cos^2 \theta] d\theta = \left[-\cos \theta + \frac{\cos^3 \theta}{3} \right]_0^\pi = 1 - \frac{1}{3} + 1 - \frac{1}{3} = \frac{4}{3} \right\}$$

$$= \frac{3e\omega}{8\pi R^3} 2\pi \cdot \frac{4}{3} \cdot \frac{R^5}{5} \hat{z} = \underline{\underline{\frac{e\omega R^2}{5} \hat{z}}} \quad (1)$$

b) Klassiskt (Newton) $\vec{L} = \vec{I} \vec{\omega}$, \vec{I} - tröghetsmoment

$$I_{\text{sfär}} = \frac{2mR^2}{5} \quad (= I_{xx} = I_{yy} = I_{zz})$$

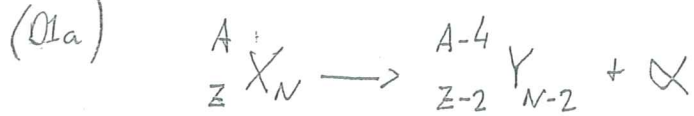
Här är $\vec{L} = \vec{s} \Rightarrow \vec{s} = \frac{2mR^2}{5} \omega \hat{z} \Rightarrow \omega R^2 = \underline{\underline{\frac{5|\vec{s}|}{2m}}} \quad (2)$

c) Insättning (2) i (1):

$$\mu = \frac{e 5 |\vec{s}|}{5 \cdot 2m} = \underline{\underline{\frac{e}{2m} |\vec{s}|}}$$

Kvantmek.	$S = m_s \hbar$
	$\mu_N = \frac{e \hbar}{2m_N}$
	$\mu = g_S S \mu_N$
$g_S = 5,6$ (p)	spin $\frac{1}{2}$
$g_S = -3,8$ (n)	g -faktor
	= 2 för punktpartikel

18a) α -sönderfall

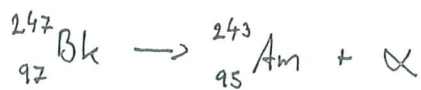


$\left. \begin{array}{l} \text{Energi konservering ger} \\ (\text{moderkärna i vita, T = kin. energi för sönderfalls prod.}) \\ m_\alpha c^2 = m_Y c^2 + T_Y + m_\alpha c^2 + T_\alpha \end{array} \right\}$

Q -värdet för sönderfallet

$$Q = (m_\alpha - m_Y - m_\alpha) c^2 = T_Y + T_\alpha$$

Kärnmassor! Går även med atommassor!



Berkelium Americium (Americium på svenska)

$$Q = [m({}^{247}\text{Bk}) - m({}^{243}\text{Am}) - m({}^4\text{He})] c^2 =$$

$$= (247,070299 - 243,061572 - 4,002603) u \cdot c^2 = 6,324 \cdot 10^{-3} u \cdot c^2 = \underline{\underline{5,89 \text{ MeV}}} \\ \uparrow \\ 931,494 \text{ MeV}$$

Am i brandvärnare

8.2a

(02a)

$$\begin{array}{ccc} p_x = 0 & \longrightarrow & p_Y, T_Y \\ \text{atom} & & \downarrow p_\alpha, T_\alpha \end{array}$$

Finn T och v för
dotterkärnan

Impulskonservering ger

$$p_Y = -p_\alpha \quad (\text{om sönderfallet sker från vta})$$

$$Q \ll m_Y c^2, m_\alpha c^2 \Rightarrow \text{Använd icke-rel. behandling}$$

$\sim 5 \text{ MeV}$ 3726 MeV

$$T = \frac{p^2}{2m}$$

$$\Rightarrow 2m_\alpha T_\alpha = 2m_Y T_Y$$

$$\text{Med } Q = T_\alpha + T_Y \Rightarrow Q - T_Y = \frac{m_Y}{m_\alpha} T_Y$$

$$\Rightarrow T_Y = \frac{Q}{1 + \frac{m_Y}{m_\alpha}}$$

$$T(^{243}\text{Am}) \left(= \frac{Q}{1 + \frac{m(^{243}\text{Am})}{m_\alpha}} \right) \approx \frac{5,89 \text{ MeV}}{1 + \frac{243}{4}} \approx 95,4 \text{ keV}$$

↑
Krot (ef sa mängda decimaler)

$$\therefore T_\alpha = Q - T_Y = 5,79 \text{ MeV} = 98\%$$

$$v(^{243}\text{Am}) = \sqrt{\frac{2T(^{243}\text{Am})}{m(^{243}\text{Am})}} \approx \sqrt{\frac{2 \cdot 95,4 \cdot 10^{-3} \text{ MeV}}{243 \text{ u}}} = \left\{ 1 \text{ u} = 931,5 \frac{\text{MeV}}{c^2} \right\}$$

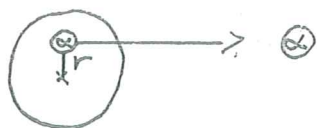
↑
åtartgen krot!

$$\approx \sqrt{\frac{2 \cdot 95,4 \cdot 10^{-3} \text{ MeV}}{243 \cdot 931,5 \frac{\text{MeV}}{c^2}}} \approx 9,18 \cdot 10^{-4} c = 2,7 \cdot 10^5 \text{ m/s}$$

ef vno
icke-rel

8.15 (04)

a)



$$Q = 6 \text{ MeV}$$

$$A \approx 230$$

Semiklassisk behandling

Blandar frikraft

Kvant. när vi kan.

$$T_\alpha = \frac{Q}{1 + \frac{m_\alpha}{m_\gamma}} \approx \frac{6 \text{ MeV}}{1 + \frac{4}{230}} \approx 5,897 \text{ MeV}$$

$$p_\alpha = \sqrt{2 m_\alpha T_\alpha} \approx \sqrt{2 \cdot 3727,4 \text{ MeV}/c^2 \cdot 5,897 \text{ MeV}} \approx 209,6 \frac{\text{MeV}}{c}$$

$$L = r p_\alpha \Rightarrow r = \frac{L}{p_\alpha} = \frac{\sqrt{L(L+1)\hbar^2}}{p_\alpha}$$

$$\text{Använd } \hbar c = 197,3 \text{ MeV fm}$$

$$p_\alpha = 209,6 \text{ MeV}/c$$

$$\Rightarrow r = 0,941 \sqrt{L(L+1)} \text{ fm}$$

$$\because L=1 \Rightarrow r = 1,33 \text{ fm}$$

$$L=2 \Rightarrow r = 2,31 \text{ fm}$$

b) ~~Hela reketen ger till rotatronsenergi hos dotterkärnan~~

$$\overline{T}_{\text{rot}} = Q - \overline{T}_\alpha = (6 - 5,897) \text{ MeV} = 0,103 \text{ MeV}$$

$$\begin{aligned} \overline{T}_{\text{rot}} &= \frac{J\omega^2}{2} = \frac{J}{2} \left(\frac{L}{J} \right)^2 = \frac{L^2}{2J} \\ J &= \frac{2}{5} MR^2 \\ M &= 226 \cdot 931,5 \text{ MeV}/c^2 \\ R &= 1,25 \cdot 226^{1/3} \text{ fm} \\ \overline{T}_{\text{rot}} &= \frac{L(L+1)\hbar^2}{2 \cdot \frac{2}{5} MR^2} \Rightarrow L = 4,6 \end{aligned}$$

E1. Härled tvärsnittet för Rutherfordspridning.

A1. Från ett ursprungligen rent prov av ^{139}Cs , med aktiviteten 1 mCi, observeras sönderfallskedjan $^{139}\text{Cs} \rightarrow ^{139}\text{Ba} \rightarrow ^{139}\text{La}$. Halveringstiden är 9.5 min för ^{139}Cs och 82.9 min för ^{139}Ba medan ^{139}La är stabil. Hur stor är den maximala bariumaktiviteten och när inträffar den? (K6.13)

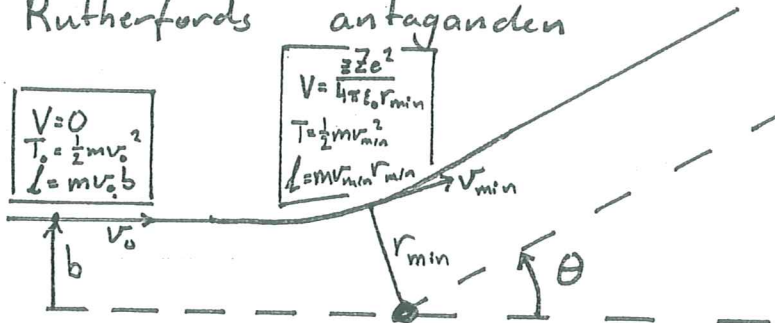
A8. Då reaktorhaveriet i Tjernobyl hade inträffat var de sovjetiska myndigheterna till en början inte villiga att erkänna vad som hänt. Det radioaktiva nedfallet från det stoftmoln som passerade Sverige någon dag efter haveriet, gav möjlighet att bevisa att en reaktorolycka inträffat genom att påvisa förekomsten av radioaktiva jodisotoper. Den relativt aktiveringen gav dessutom en ganska exakt bestämning av tidpunkten för olyckan. Utbytet för bildande av olika isobarer vid fission med termiska neutroner av ^{235}U fås ur nuklidkartan. Relativa aktiviteten av ^{133}I ($t_{1/2} = 20.8$ h) och ^{131}I ($t_{1/2} = 8.02$ d) i det prov som togs i närheten av Chalmers uppmättes måndagen den 28/4 kl. 17.00 till 270 mBq respektive 1000 mBq. Bestäm tidpunkten för reaktorhaveriet i Tjernobyl. (T990531:2)

Rutherford-spridning

Härdad tvärsnitt för Rutherford-spridning

Lösning Trärsnitt är ett mätt på sannolikheten för att en reaktionskälla skall få ett visst utfall.
I värst fall: sannolikheten för att en laddad partikel sprids vinkel θ i kollisionen med en annan laddad partikel.

• Rutherford-s antaganden

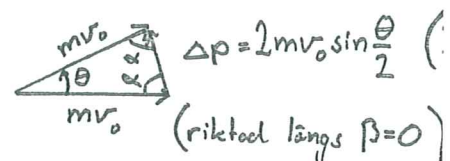


Om $b=0$:

$$\Rightarrow d = \frac{zZc^2}{4\pi\epsilon_0 T_0} \quad (1)$$

• Samband mellan b & θ

"Ändring i rörelsemängd"



Newton II:

$$\Delta p = \int dp = \int F dt = \frac{zZe^2}{4\pi\epsilon_0} \int \frac{dt}{r^2} \cos\beta$$

endast komponenten längs
 $\beta=0$ ger något bidrag

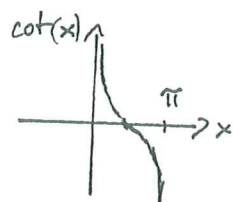
Konservering av rörelsemängdsmoment

$$mv_0 b = l = |m\vec{r} \times \vec{v}| = |mr\hat{r} \times \left(\frac{dr}{dt}\hat{r} + r \frac{d\beta}{dt}\hat{\beta} \right)| = mr^2 \frac{d\beta}{dt}$$

$$\Rightarrow \frac{dt}{r^2} = \frac{d\beta}{b v_0}$$

$$\therefore \Delta p = \frac{zZe^2}{4\pi\epsilon_0 V_0 b} \int_{-\alpha}^{\alpha} \cos\beta d\beta = \begin{cases} 2\alpha = \pi - \theta \\ \Rightarrow \alpha = \frac{\pi - \theta}{2} \end{cases} = \frac{zZe^2}{2\pi\epsilon_0 V_0 b} \cos \frac{\theta}{2} \quad (3)$$

$$(1)-(3) \Rightarrow b = \frac{d}{2} \cot \frac{\theta}{2} \quad (4)$$



(b listet $\Leftrightarrow \theta$ start ok!)

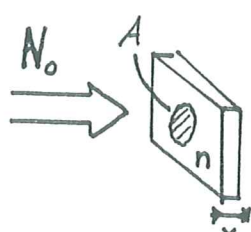
Trärsnitt

Införträrsnitt = mätt på reaktionssannoliket uttryckt i en effektiv area

Antag att:

strålmålet har $\begin{cases} n & - \text{kärnor per volymenhed} \\ x & - \text{tjocklek (tunn} \Rightarrow \text{ingen skuggning)} \end{cases}$

strålen har $\begin{cases} N_0 & - \text{antalet inkommande partiklar} \\ A & - \text{arean som bestrålas} \end{cases}$

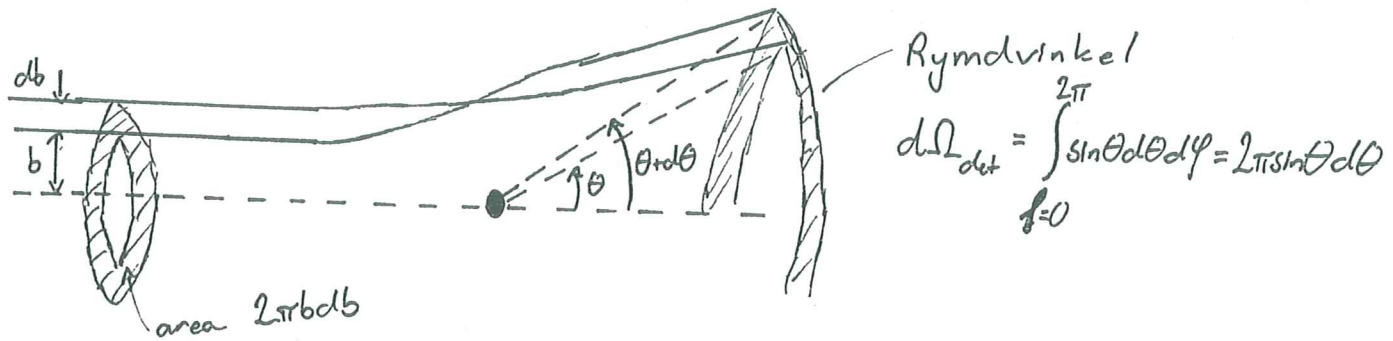


Definiera differentielltträrsnitt $\frac{d\sigma}{d\Omega} = \text{slik, uttryckt i effektiv area, att en inkommande partikel sprids till vinkeln } d\Omega \text{ från en kärna i strålmålet}$

Om vår detektor upptar rymdvinkeln $d\Omega_{det}$ kommer dN_{det} partiklar att träffa den:

$$dN_{det} = (N_0 \cdot n \cdot x \cdot \frac{d\sigma}{d\Omega}) d\Omega_{det} \quad (5)$$

Värt fall: Hur många partiklar sprids mellan $[\theta, \theta + d\theta]$?



\Rightarrow Antalet partiklar som träffar $d\Omega_{det}$

$$\begin{aligned} dN_{det} &= N_0 \cdot (n \cdot x \cdot A) \cdot \frac{2\pi b db}{A} = \left\{ \begin{array}{l} \left| \frac{db}{d\theta} \right| = + \frac{d}{4} \frac{1}{\sin^2 \frac{\theta}{2}} \\ \cot \frac{\theta}{2} = \frac{\sin \theta}{1 - \cos \theta} = \frac{\sin \theta}{2 \sin^2 \frac{\theta}{2}} \end{array} \right\} \\ &= N_0 \cdot n \cdot x \cdot \frac{d^2}{16} \frac{1}{\sin^4 \frac{\theta}{2}} 2\pi \sin \theta d\theta \quad (6) \end{aligned}$$

Jämför (5) & (6)

$$\Rightarrow \frac{d\sigma}{d\Omega} = \frac{d^2}{16} \frac{1}{\sin^4 \frac{\theta}{2}} \stackrel{(1)}{=} \underline{\underline{\left(\frac{zZ e^2}{4\pi \epsilon_0} \right)^2}} \underline{\underline{\left(\frac{1}{4T_0} \right)^2}} \underline{\underline{\frac{1}{\sin^4 \frac{\theta}{2}}}}$$

Gerigen och Mårsden (1911-) konfirmerade att

$$\frac{d\sigma}{d\Omega} \propto \begin{cases} \frac{1}{\sin^4 \frac{\theta}{2}} \\ T_0^{-2} \\ Z^2 \end{cases}$$

Ju större θ desto större måste α vara
 \Rightarrow måste känna stark kraft
 \Rightarrow måste komma nära kärnan \Rightarrow stor T_0 behövs
 (typiskt för EM vvv)

Antaganden :

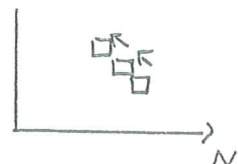
1. OK
2. OK för spridning av α -partiklar o. dyl.
eftersom elektronerna är för lätta för att
överlämna stor θ spridning
3. Kan lätta korrigeras genom att byta $m \rightarrow \mu = \frac{mM}{m+M}$
, dvs transformera till CM-systemet (centre of mass)
4. & 5. OK om partiklarna inte kommer så nära kärnan
att den starka kraften börjar verka (dvs $d \approx 10 \text{ fm}$)
Effekt av Laddningsfördelning \Rightarrow Formfaktor
6. Inelastisk spridning existerar om energin på de
inkommende partiklarna är tillräckligt stor
7. I detta fall ger en kvantmekanisk härledning
samma svar (speciellt för $1/r^2$ -krafter)
Kvantmekanik måste användas när man
 - tar hänsyn till Laddningsfördelningen
 - inkluderar partiklarnas spinn
 För elektronspridning måste vi dessutom ta hänsyn till relativistiska effekter.

6.13

(1)



A1



Låt index 1 stå för Cs, 2 för Ba, 3 för La (Lantauum)

$N_j(t) = \# \text{ atomer av sort } j \text{ vid tid } t$

$$t=0 : \begin{cases} N_1(0) = N_0 \\ N_2(0) = 0 \\ N_3(0) = 0 \end{cases}$$

$$dN_1 = -\lambda_1 N_1 dt \quad (1)$$

$$dN_2 = \lambda_1 N_1 dt - \lambda_2 N_2 dt \quad (2)$$

Notera: infinitesima delar

(1) har lösningen $N_1(t) = N_0 e^{-\lambda_1 t}$

Ansatz

$$N_2(t) = A e^{-\lambda_1 t} + B e^{-\lambda_2 t}$$

$$N_2(0) = 0 \Rightarrow A = -B$$

Insättning i (2) ger

$$A(-\lambda_1 e^{-\lambda_1 t} + \cancel{\lambda_2 e^{-\lambda_2 t}}) = \lambda_1 N_0 e^{-\lambda_1 t} - \lambda_2 A(e^{-\lambda_1 t} - \cancel{e^{-\lambda_2 t}})$$

$$\Rightarrow A = \frac{\lambda_1 N_0}{\lambda_2 - \lambda_1}$$

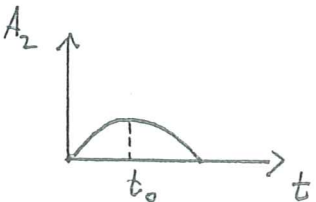
$$\therefore N_2(t) = \frac{\lambda_1 N_0}{\lambda_2 - \lambda_1} (e^{-\lambda_1 t} - e^{-\lambda_2 t}) \quad (6.31)$$

Aktiviteten anger $\#$ sändertill/tidseenhet $A(t) \equiv \lambda N(t)$

$$\Rightarrow A_2(t) = \lambda_2 N_2(t) = \frac{\lambda_1 \lambda_2}{\lambda_2 - \lambda_1} N_0 (e^{-\lambda_1 t} - e^{-\lambda_2 t}) \quad (6.32)$$

$$= A_2(0) \frac{\lambda_2}{\lambda_2 - \lambda_1} (e^{-\lambda_1 t} - e^{-\lambda_2 t}) \quad (*)$$

$A_2(t)$ har ett maximum vid $t = t_0$



$$\frac{dA_2(t)}{dt} \Big|_{t=t_0} = 0 \Rightarrow -\lambda_1 e^{-\lambda_1 t_0} + \lambda_2 e^{-\lambda_2 t_0} = 0$$

$$\Rightarrow \frac{\lambda_2}{\lambda_1} = e^{(\lambda_2 - \lambda_1)t_0} \Rightarrow t_0 = \frac{1}{\lambda_2 - \lambda_1} \ln\left(\frac{\lambda_2}{\lambda_1}\right)$$

$$\lambda = \frac{\ln 2}{T_{1/2}} \Rightarrow t_0 = \frac{1}{\frac{\ln 2}{82,9} - \frac{\ln 2}{9,5}} \ln\left(\frac{9,5}{82,9}\right) \text{ (min)} = \underline{\underline{33,5 \text{ min}}}$$

Aktiviteten ?

$$A_2(0) = 1 \text{ mCi}$$

$$\begin{aligned} 1 \text{ Ci} &= \frac{\# \text{ sänderfall}}{s} \text{ från } 1 \text{ g Ra} \\ 1 \text{ Bq} &= \frac{1 \text{ sänderfall}}{s} = 3,7 \cdot 10^{10} \text{ Bq} \end{aligned}$$

$$\Rightarrow A_2|_{\text{max}} = A_2(t_0) = 1 \text{ mCi} \cdot \frac{\frac{1}{82,9}}{\frac{1}{82,9} - \frac{1}{9,5}} \left(e^{-\frac{\ln 2 \cdot 33,5}{9,5}} - e^{-\frac{\ln 2 \cdot 33,5}{82,9}} \right) = \underline{\underline{87 \mu Ci}}$$

$$= 3,22 \text{ MBq}$$

990531-2

Den 28/4 1986 kl 17:00 uppmättes aktiviteterna

(8) A8

1 Williams

270 mBq från ^{133}I 1000 mBq från ^{131}I

i ett prov

Aktivitet = I

Sönderfallb. = w

Utbyte = P

i Göteborg.

Bestäm tidpunkten för Tjernobylolyckan

(Antag att I-aktiviteten vanligtvis ≈ 0)Lösning

Vid fission, med termiska neutroner, av ^{235}U bildas bl.a. ^{133}I och ^{131}I . Utbytet för olika isobarer ges av bilaga 1.

Beteckna

 $A_{133}(t)$ - aktiviteten från ^{133}I vid tiden t $A_{131}(t)$ - - - ^{131}I - - -Utbytet \propto aktiviteten [ty $A(t') = U(1 - e^{-\lambda t'}) \rightarrow U$ då $t' \rightarrow \infty$]

$$\Rightarrow \frac{A_{133}(0)}{A_{131}(0)} = \frac{6,609}{2,885}$$

$$\left\{ \begin{array}{l} A_{133}(t) = A_{133}(0) e^{-\lambda_{133} t} \\ A_{131}(t) = A_{131}(0) e^{-\lambda_{131} t} \end{array} \right. , t_{1/2, 133} = 20,8 \text{ h}$$

$$, t_{1/2, 131} = 8,02 \text{ d} = 192,48 \text{ h}$$

Aktiviteten vid tiden T efter olyckan är uppmätt

$$\frac{A_{133}(T)}{A_{131}(T)} = \frac{A_{133}(0)}{A_{131}(0)} e^{(\lambda_{131} - \lambda_{133}) T}$$

$$\Rightarrow T = \frac{\ln\left(\frac{270}{1000} \cdot \frac{2,885}{6,609}\right)}{\ln 2 \left(\frac{1}{t_{1/2, 131}} - \frac{1}{t_{1/2, 133}}\right)} = 72 \text{ h}$$

$\therefore \underline{\underline{25/4 \text{ kl. } 17:00}}$

A8

La 133 3,9 h	La 134 6,07 m	La 135 19,4 h	La 136 9,9 m	La 137 6 · 10 ⁻⁶ a	La 138 0,0902 1,05 · 10 ⁻⁶ a	La 139 99,9098 9,0	La 140 40,2721 h 5 · 14,22... 1,056; 407; 816; 1239... + 2,7	La 141 3,93 h 3 · 24... 1,055 (1421...)	La 142 92,5 m H · 2,1; 4,5... 7141; 2356; 2543...	La 143 14,23 m H · 3,3... + 621; 544...	La 144 40,9 s H · 4,1; 4,4... + 387; 541; 845...	La 145 24,8 s H · 4,6; 4,1... + 356; 111; 73; 447; 181...
Ba 132 10,101	Ba 133 3,9 h	Ba 134 2,417	Ba 135 26,7 h	Ba 136 6,02	Ba 137 7,854	Ba 138 2,45 m	Ba 139 71,70	Ba 140 83,06 m H · 10... + 105... + 1,0	Ba 141 12,75 d H · 24... + 1,055 (1421...)	Ba 142 18,3 m H · 2,8; 3,0... + 180; 304; 277; 344...	Ba 143 10,7 m H · 4,8... + 314; 756; 893; 1011...	Ba 144 14,5 s H · 2,4; 5,9... + 164; 433; 73; 157; 348...
Cs 131 9,10	Cs 132 5,470	Cs 133 11,0	Cs 134 2,93 h	Cs 135 0,9 m	Cs 136 2 · 10 ⁻⁶ a 19 s	Cs 137 13,16 d H · 0,8; 1,2... + 0,25	Cs 138 30,17 a 2,60 m H · 2,8... + 1,055 (1421...)	Cs 139 9,3 m H · 5,2... + 40; 662; 1164; 693... + 67...	Cs 140 63,7 s H · 6,6; 8,2... + 602; 509; 1201...	Cs 141 24,9 s H · 7,3... + 360; 1325; 1164; 693... + 67...	Cs 142 1,70 s H · 5,8... + 360; 1325; 1164; 693... + 67...	Cs 143 1,78 s H · 5,8...
Xe 131 11,9 d	Xe 132 26,9	Xe 133 2,19 d	Xe 134 5,29 d	Xe 135 10,4	Xe 136 16,8 m	Xe 137 9,10 h H · 0,8; 1,2... + 0,25	Xe 138 8,9 14,1 m H · 0,9; 2,8... + 255; 424; 1700; 2016...	Xe 139 3,63 m H · 2,8; 3,0... + 218; 237; 175...	Xe 140 39,7 s H · 2,8; 3,0... + 218; 237; 175...	Xe 141 13,6 s H · 6,2... + 360; 119;... 106...	Xe 142 1,72 s H · 5,8; 6,2... + 352; 612;... 130; 619...	
I 129 5,7 · 10 ⁻¹ a	I 130 9,0 m	I 131 6,3 d	I 132 1,06 h	I 133 6,3 d	I 134 2,50 h	I 135 0,6	I 136 20,12 h H · 1,5; 2,2... + 1260; 1152;	I 137 6,61 h 45 s	I 138 24,2 s H · 5,0... + 508; 675;	I 139 2,29 s H · 6,3; 8,2... + 377; 450;	I 140 0,66 s H · 7,5; 9; 203;	
Te 128 31,69	Te 129 35,6 d	Te 130 33,80	Te 131 2,7 · 10 ⁻¹ a	Te 132 2,7 · 10 ⁻¹ a	Te 133 25,0 h	Te 134 76,3 h H · 0,2	Te 135 41,8 m H · 6,0; 7,7... + 615; 7,0...	Te 136 17,5 s H · 6,0; 7,7... + 614; 237;	Te 137 2,5 s H · 5,4; 6,8... + 627; 324; 578;	Te 138 1,4 s H · 6,3; 8,8... + 240; 551;	Te 139 Te 140	
Sb 127 3,85 d	Sb 128 10,0 m	Sb 129 1,02 h	Sb 130 17,2 m	Sb 131 3,49 m	Sb 132 39,5 m	Sb 133 6,8 m H · 1,3; 2,1... + 943; 939;	Sb 134 2,8 m H · 1,2; 2,1... + 102; 81;	Sb 135 0,7 s H · 6,1; 7,1... + 145; 104;	Sb 136 0,8 s H · 6,1; 7,1... + 127; 1279...	Sb 137 Sb 138 Sb 139		
Sn 126 ~ 10 ⁻⁶ a	Sn 127 4,5 m	Sn 128 2,1 h	Sn 129 6,5 s	Sn 130 51,1 m	Sn 131 22,0 m H · 1,2; 2,1... + 145; 104;	Sn 132 39,7 s H · 1,3; 2,1... + 141; 66; 890;	Sn 133 1,05 s H · 7,6; 8,2... + 0,28	Sn 134 1,05 s H · 7,0... + 872; 318;	Sn 135 Sn 136 Sn 137	6,751 88		
In 125 1,25	In 126 1,63 s	In 127 1,61 s	In 128 0,72 s	In 129 0,84 s	In 130 1,06 a	In 131 0,51 s H · 1,2; 2,1... + 141; 66; 890;	In 132 0,20 s H · 4,4; 5,0... + 375; 441;	In 133 0,20 ms H · 4,4; 5,0... + 375; 441;	In 134 7,730 6,535	6,449		
Cd 124 0,57 s	Cd 125 0,57 s	Cd 126 0,51 s	Cd 127 0,43 s	Cd 128 0,43 s	Cd 129 0,30 s	Cd 130 0,27 s H · 1,2; 2,1... + 141; 66; 890;	Cd 131 0,22 s H · 1,2; 2,1... + 141; 66; 890;	Cd 132 0,20 s H · 4,4; 5,0... + 375; 441;	In 133 7,730 6,535	6,265	6,236	
Ag 123 0,30 s	Ag 124 0,17 s	Ag 125 166 ms	Ag 126 107 ms	Ag 127 109 ms	Ag 128 0,9202	Ag 129 0,7787	Ag 130 1,010	Ag 131 82	Ag 132 86	Ag 133 4,271	Ag 134 6,609	
Pd 122 0,410	Pd 123 0,13	Pd 124 0,0315	Pd 125 0,0276	Pd 126 0,0594	Pd 127 0,1233							

$$A=133: U_{\text{rel}} = 6.609\%$$

$$A=131: U_{\text{rel}} = 2.885\%$$

"Isobaric yield for ²³⁵U fission with thermal neutrons. (%)"

Se också Physics Handbook tabell T6.7.